

**Московский авиационный институт  
(Национальный исследовательский университет)**

**Факультет прикладной математики и физики**

**Кафедра вычислительной математики и программирования**

**Лабораторная работа № 5**  
**по курсу «Численные методы»**

Студент: Гаврилов М.С.

Группа: 80-4066

Вариант: 7

Москва, 2022

## Постановка задачи

Используя явную и неявную конечно-разностные схемы, а также схему Кранка - Николсона, решить начально-краевую задачу для дифференциального уравнения параболического типа. Осуществить реализацию трех вариантов аппроксимации граничных условий, содержащих производные: двухточечная аппроксимация с первым порядком, трехточечная аппроксимация со вторым порядком, двухточечная аппроксимация со вторым порядком. В различные моменты времени вычислить погрешность численного решения путем сравнения результатов с приведенным в задании аналитическим решением  $U(x, t)$ . Исследовать зависимость погрешности от сеточных параметров  $\tau, h$ .

Вариант 7.

$$\frac{\partial u}{\partial t} = \frac{\partial^2 u}{\partial x^2} + 0,5 \exp(-0,5t) \cos x,$$

$$u_x(0, t) = \exp(-0,5t),$$

$$u_x(\pi, t) = -\exp(-0,5t),$$

$$u(x, 0) = \sin x,$$

Аналитическое решение:  $U(x, t) = \exp(-0,5t) \sin x$ .

## Решение

Для отображения результата вычислений используется функция `visualize`, которая выводит на экран двумерную пространственно-временную сетку, цвет пикселей которой определяются значением соответствующих узлов сетки. Так как, для решения неявным методом используются крайне мелкие по времени сетки, для экономии ресурсов, предусмотрен вывод каждой  $n$ -й временной строки сетки.

```
def visualize(matr, t_skip, shape = [1,1]):
    pylab.figure(figsize = (shape[0], shape[1]))
    pylab.xlabel("x")
    pylab.ylabel("t")
    for i in range(matr.shape[0]):
        if(i % t_skip != 0):
            continue

        for j in range(matr.shape[1]):

            if(matr[i][j] > 0):
                pylab.plot(j, i, 's', color = (matr[i][j], 0, 0))
            if(matr[i][j] <= 0):
                pylab.plot(j, i, 's', color = (0, 0, -matr[i][j]))
    pylab.show()
```

Уравнение:

```
def f_x(crd):
    t,x = crd
    return 0.5*np.exp(-0.5*t)*np.sin(x)

def f_0(x):
    return np.sin(x)

def x_0(t): # > 0 --> энергия утекает, < 0 --> энергия притекает
    return np.exp(-0.5*t)

def x_1(t): # < 0 --> энергия утекает, > 0 --> энергия притекает
    return -np.exp(-0.5*t)
```

Обоснование смены  $f(x)$ .

Видно, что  $\int_0^\pi 0.5e^{-0.5t} \cos(x) dx = 0$ . Следовательно,  $\int_0^\infty \int_0^\pi 0.5e^{-0.5t} \cos(x) dx dt = 0$ , а значит,  $f(x)$  не меняет суммарную энергию системы. Изначально в системе находится  $\int_0^\pi \sin(x) dx = 2$  энергии. Через границы за все время утекает  $2 * \int_0^\infty e^{-0.5t} dt = 2 * 2 = 4$ , а значит, система, представленная в условии, должна прийти в равновесие с суммарной энергией  $= -2$ . Однако, аналитическое решение  $U(x,t) = e^{-0.5t} \sin(x)$  на  $t \rightarrow \infty$  стремится к 0. Также функция  $f(x)$  нарушает симметрию системы относительно  $\frac{\pi}{2}$ , которая присутствует в аналитическом решении. Подставим аналитическое решение в основное уравнение.

$$u = e^{-0.5t} \sin(x)$$

$$u_x = e^{-0.5t} \cos(x)$$

$$u_{xx} = -e^{-0.5t} \sin(x)$$

$$u_t = -0.5e^{-0.5t} \sin(x)$$

$$u_t = u_{xx} + f$$

$$f = u_t - u_{xx}$$

$$f = -0.5e^{-0.5t} \sin(x) + e^{-0.5t} \sin(x) = 0.5e^{-0.5t} \sin(x)$$

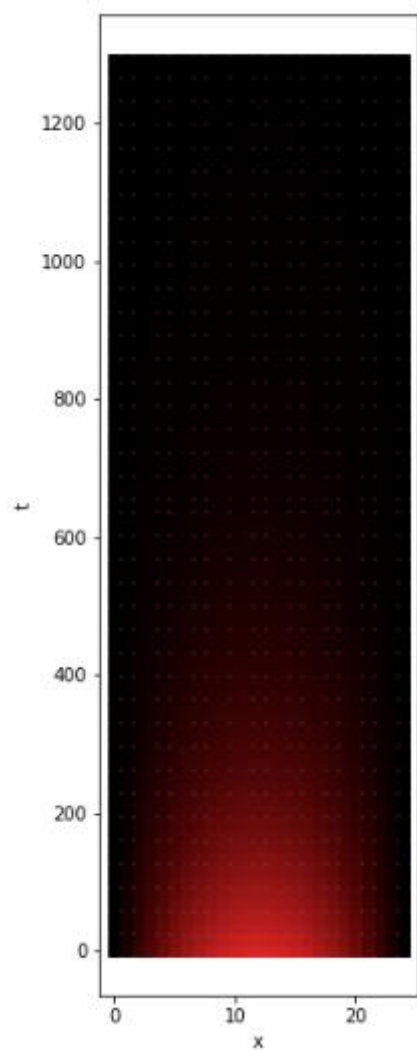
$$f = 0.5e^{-0.5t} \sin(x) \neq 0.5e^{-0.5t} \cos(x)$$

Можно убедиться, что при  $f = 0.5e^{-0.5t} \cos(x)$  уравнение не сходится.

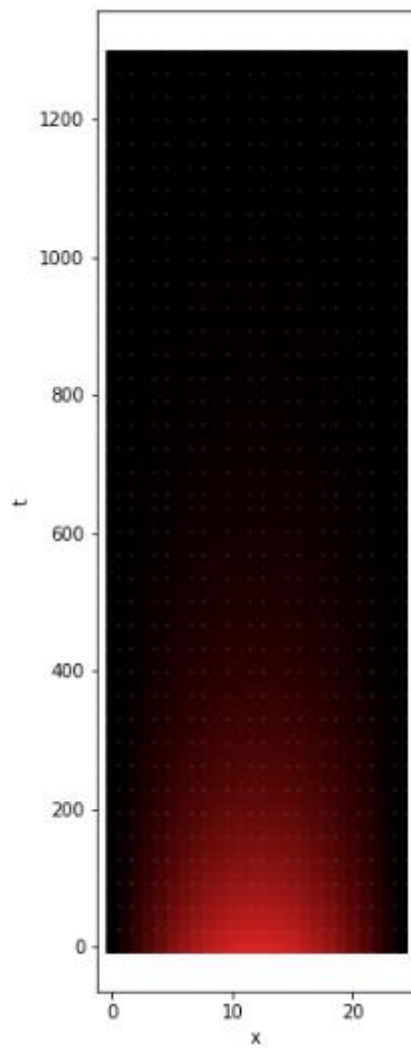
Чтобы  $U(x,t) = e^{-0.5t} \sin(x)$  было аналитическим решением, нужно, чтобы  $f = 0.5e^{-0.5t} \sin(x)$ .

Ожидаемо,  $\int_0^\infty \int_0^\pi 0.5e^{-0.5t} \sin(x) dx dt = 2$ , т.е. замена  $\cos(x)$  на  $\sin(x)$  балансирует энергию системы, а также делает ее симметричной относительно  $\frac{\pi}{2}$ .

Аналитическое решение:



Решение уравнение с  $\sin(x)$  явным методом:



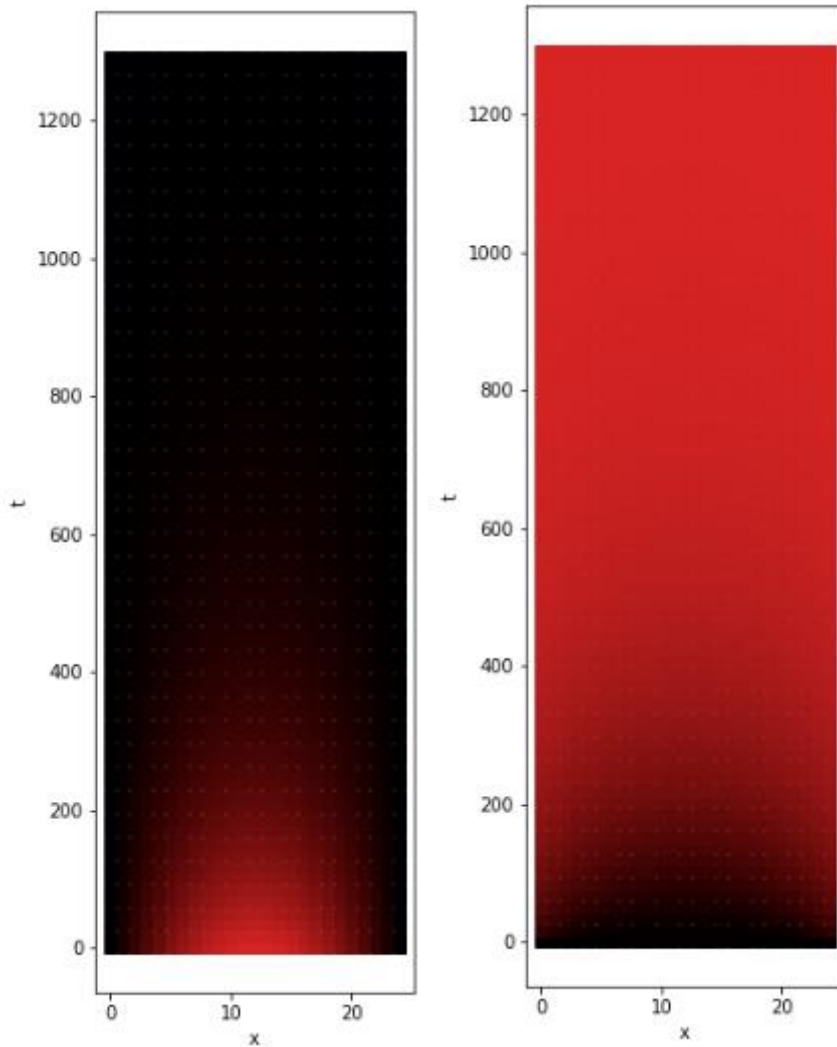
Погрешность (средняя абсолютная ошибка): 0.004600966942491745

1. Двухточечная аппроксимация первого порядка точности.

Явный метод

Решение:

Карта погрешности, нормированная по  
наибольшему значению:

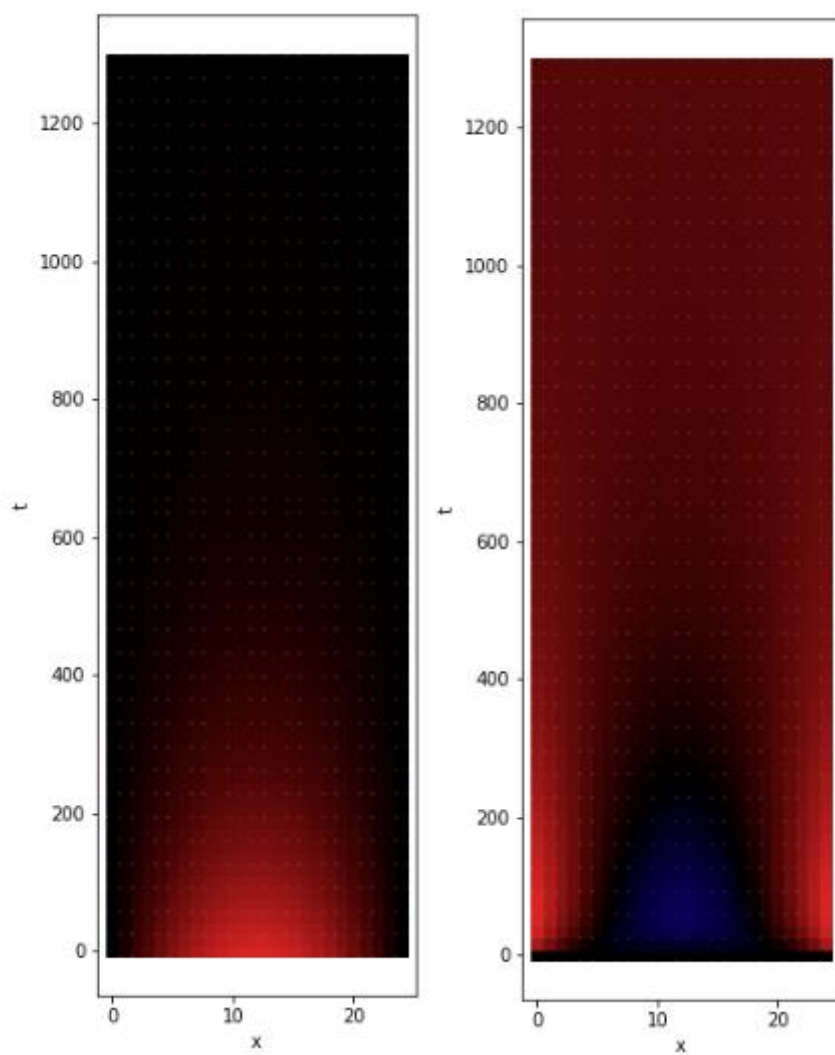


Средняя абсолютная ошибка: 0.004600966942491745

Неявный метод

Решение:

Карта погрешности, нормированная по  
наибольшему значению:

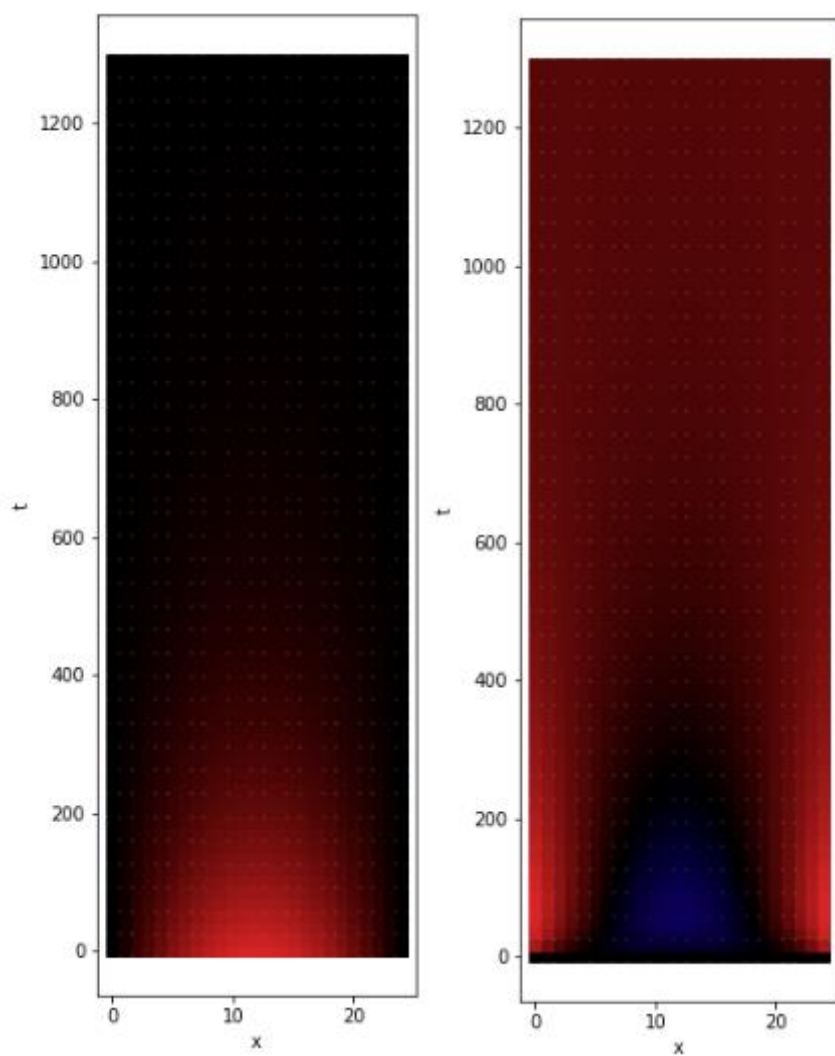


Средняя абсолютная ошибка: 0.0005593477678496438

Комбинированный метод

Решение:

Карта погрешности, нормированная по  
наибольшему значению:



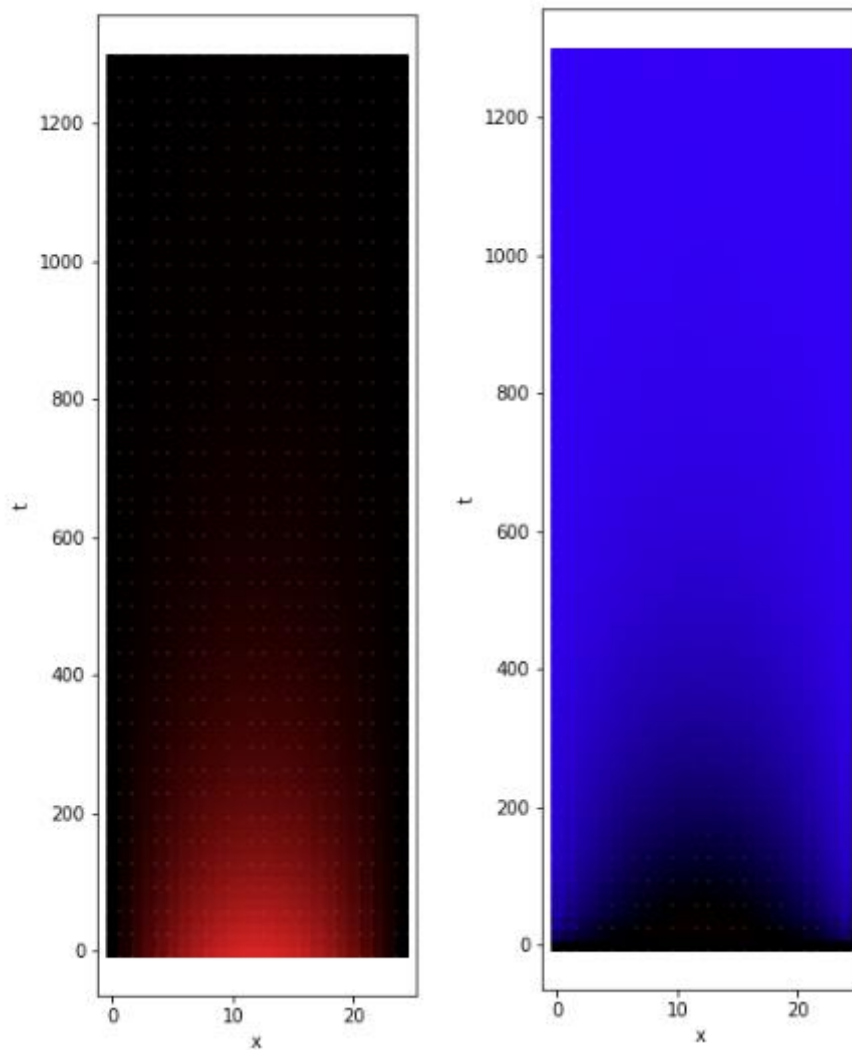
Средняя абсолютная ошибка: 0.0005559805094610557

## 2. Трехточечная аппроксимация второго порядка точности.

Явный метод

Решение:

Карта погрешности, нормированная по  
наибольшему значению:



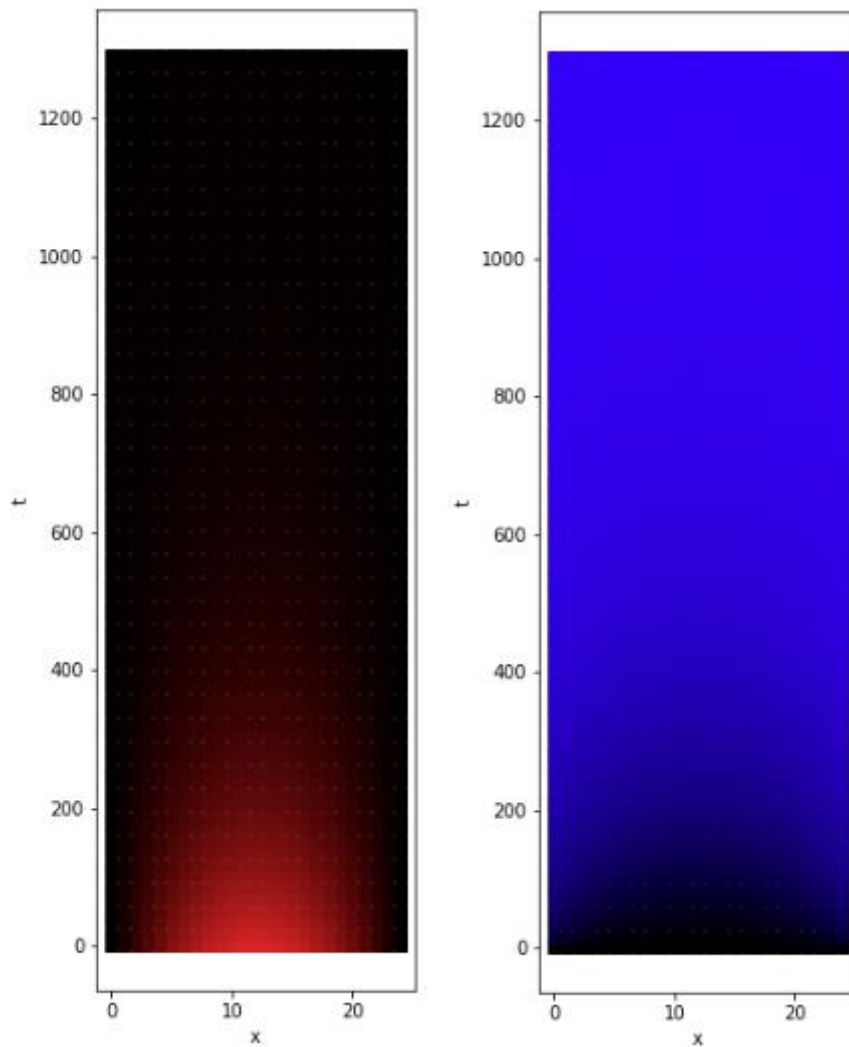
Средняя абсолютная ошибка: 0.004311436430295228



Неявный метод

Решение:

Карта погрешности, нормированная по  
наибольшему значению:

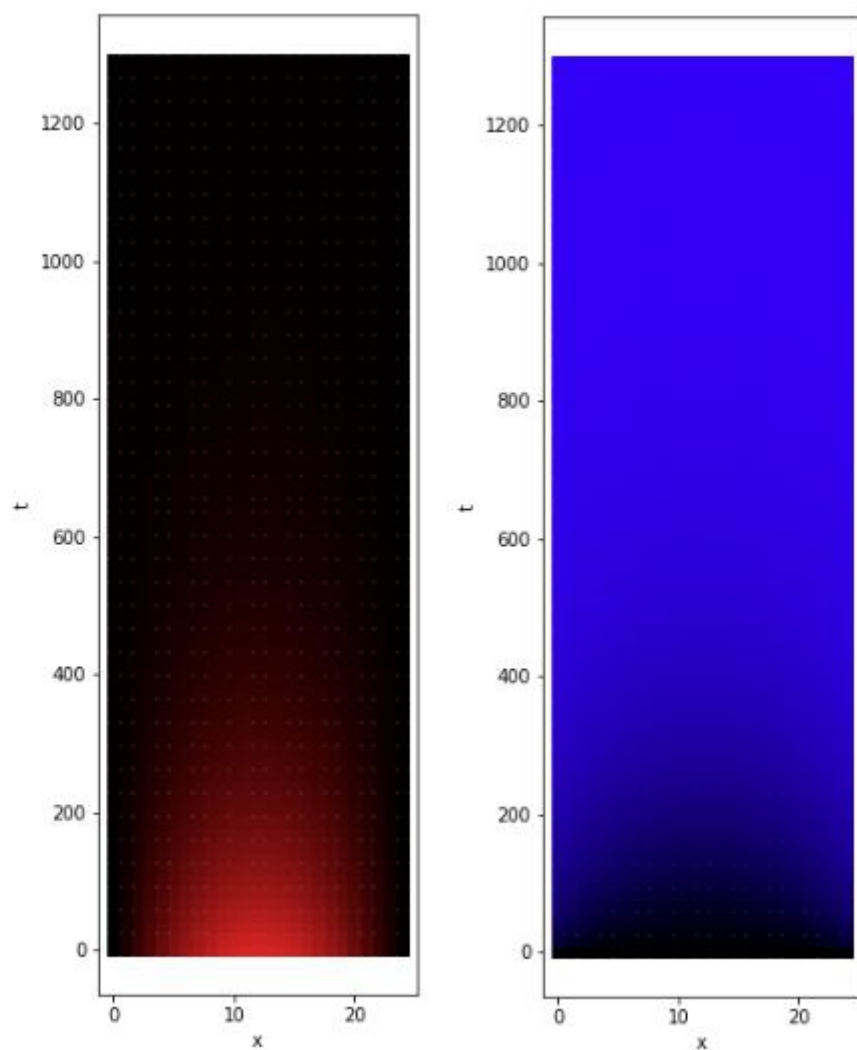


Средняя абсолютная ошибка: 0.008258104048033461

## Комбинированный метод

Решение:

Карта погрешности, нормированная по  
наибольшему значению:



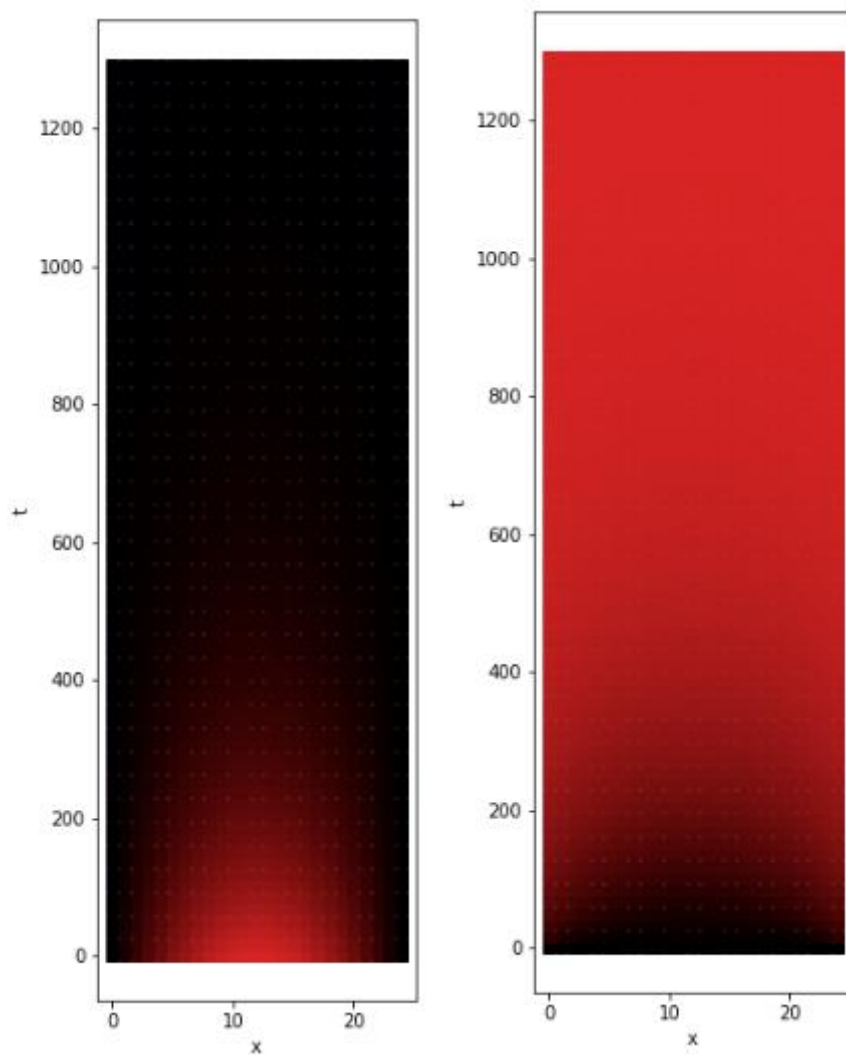
Средняя абсолютная ошибка: 0.008258166710237136

### 3. Двухточечная аппроксимация второго порядка точности.

Явный метод

Решение:

Карта погрешности, нормированная по  
наибольшему значению:

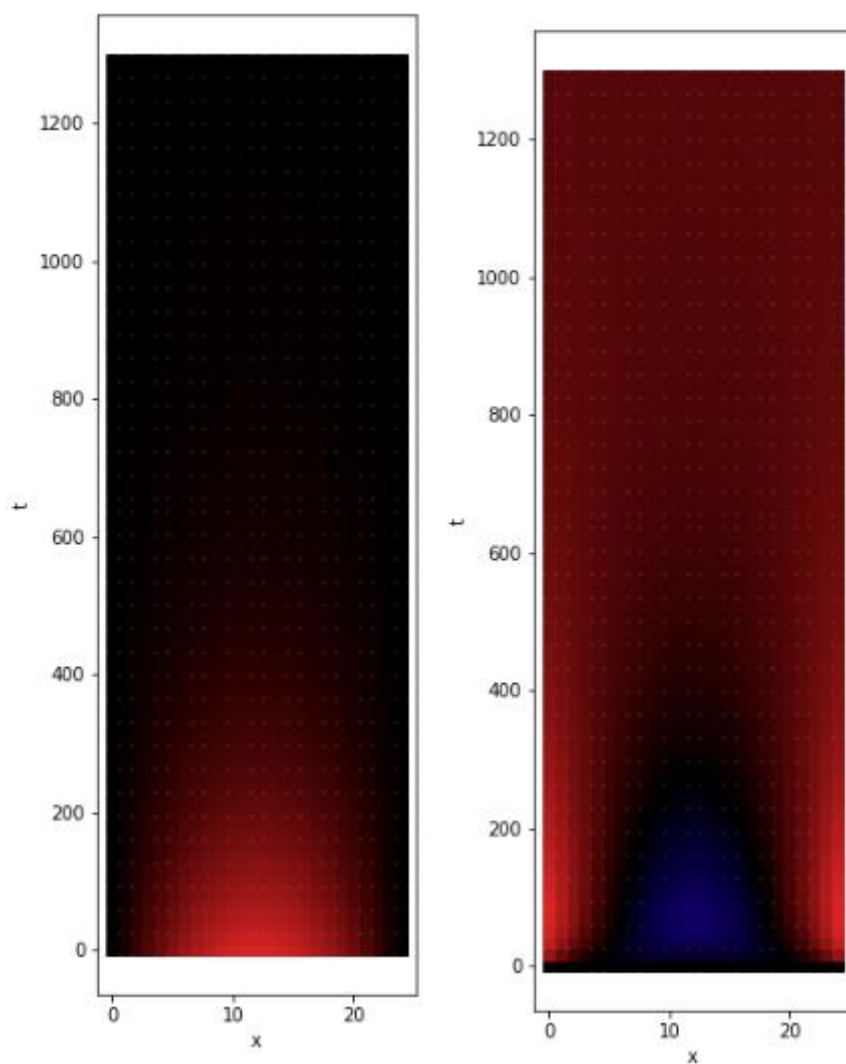


Средняя абсолютная ошибка: 0.004397394125112496

Неявный метод

Решение:

Карта погрешности, нормированная по  
наибольшему значению:

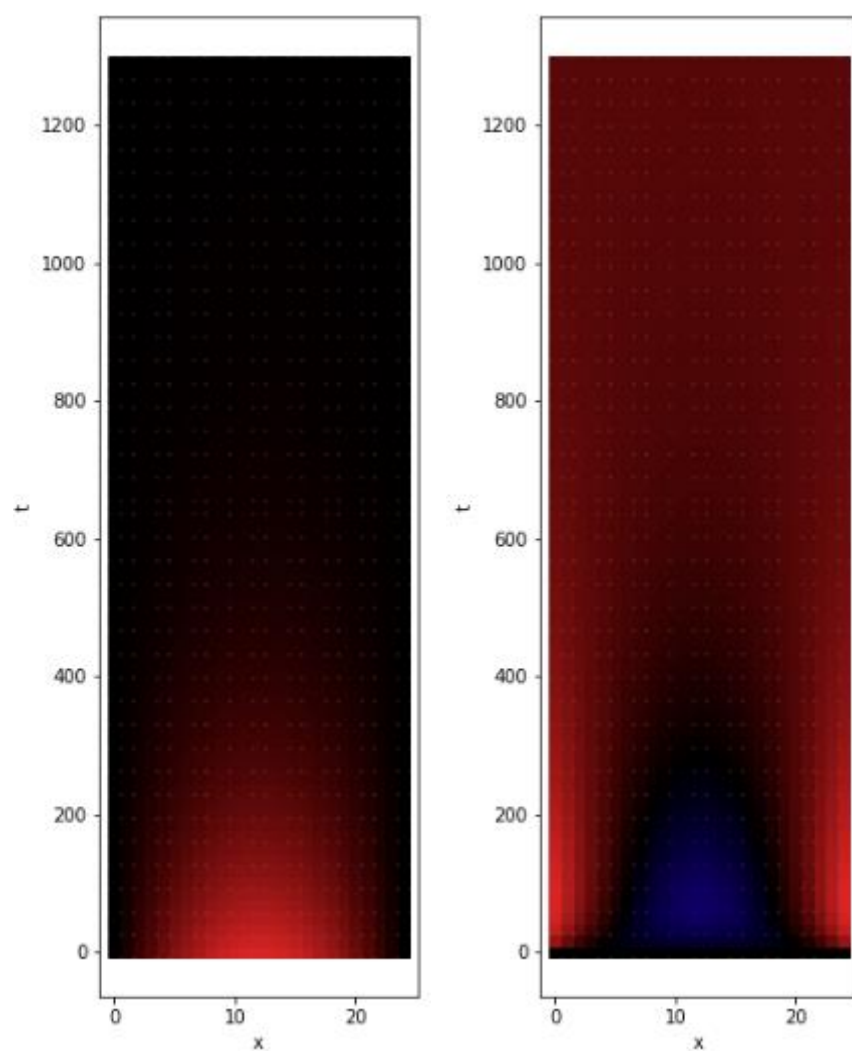


Средняя абсолютная ошибка: 0.0005307140118146265

## Комбинированный метод

Решение:

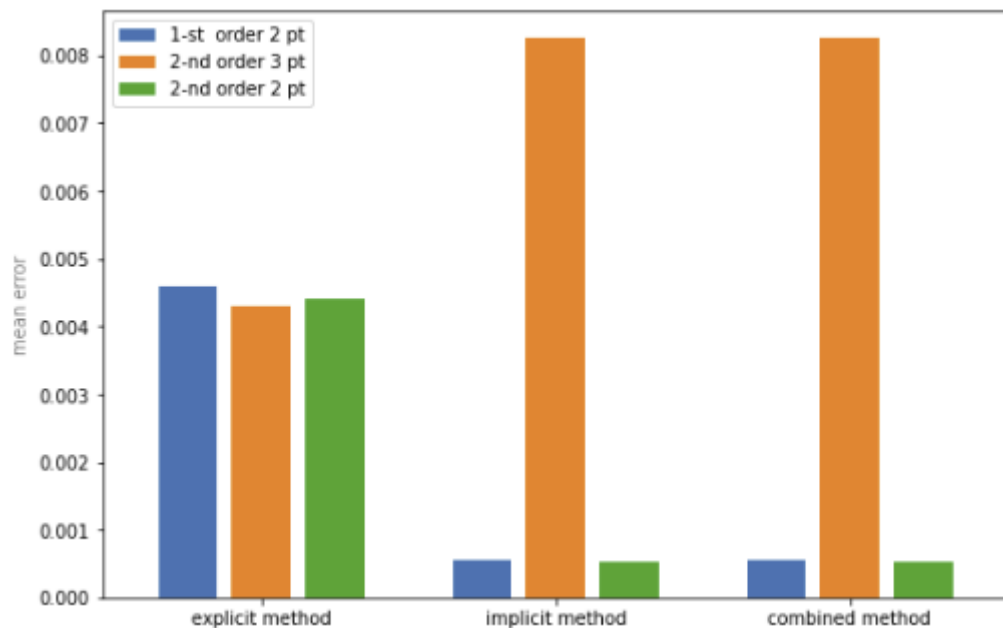
Карта погрешности, нормированная по  
наибольшему значению:



Средняя абсолютная ошибка: 0.000527593497740356

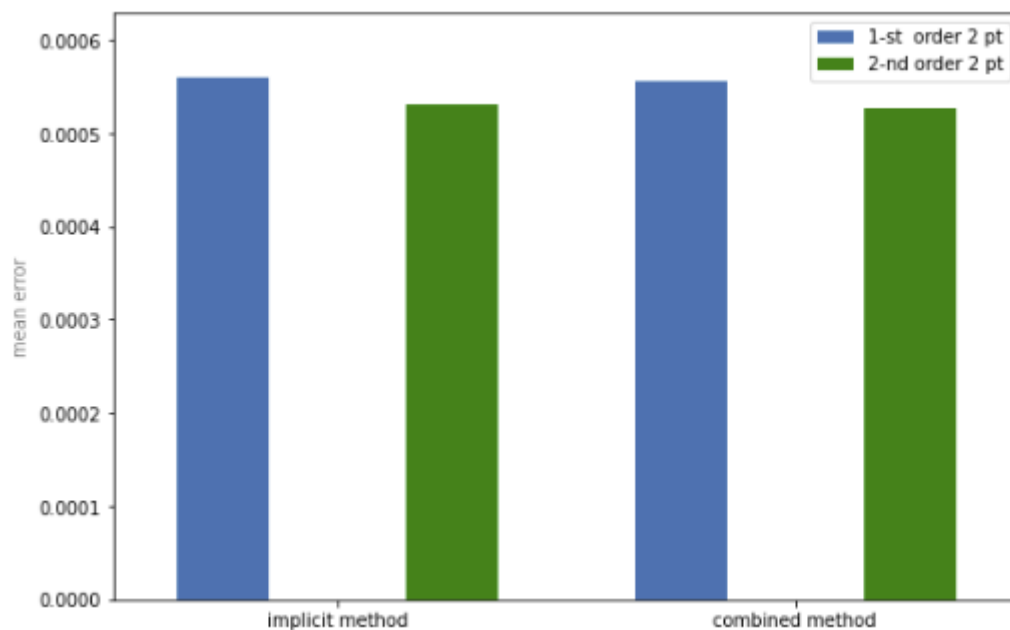
## Анализ результатов

Сравнение погрешности различных методов на одинаковой сетке:



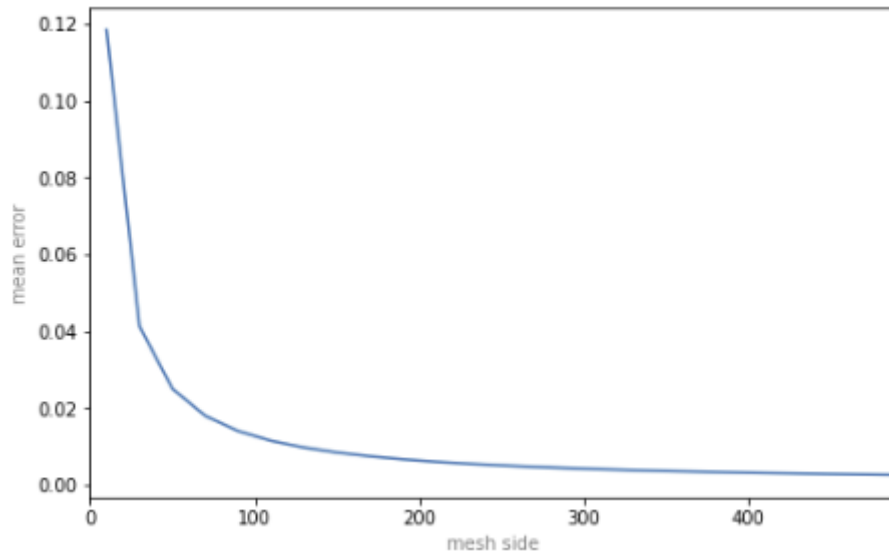
Видна аномально высокая погрешность у неявных методов при трехточечной аппроксимации. Скорее всего это ошибка в коде, но найти я ее не смог, так что, может это и действительно имеющий место эффект.

Проведем сравнение методов с наименьшей погрешностью:



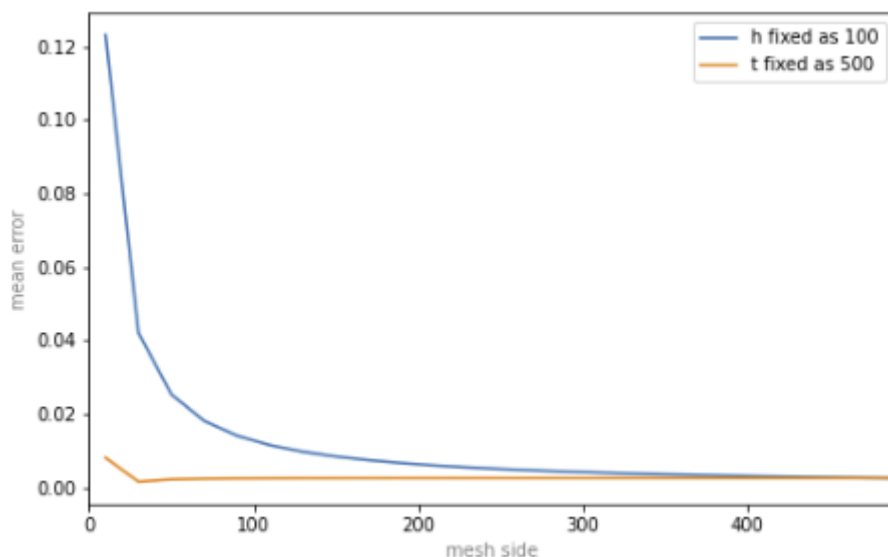
Видно, что двухточечная аппроксимация второго порядка дает прирост точности, но небольшой.

Проведем исследование зависимости погрешности от шага сетки.



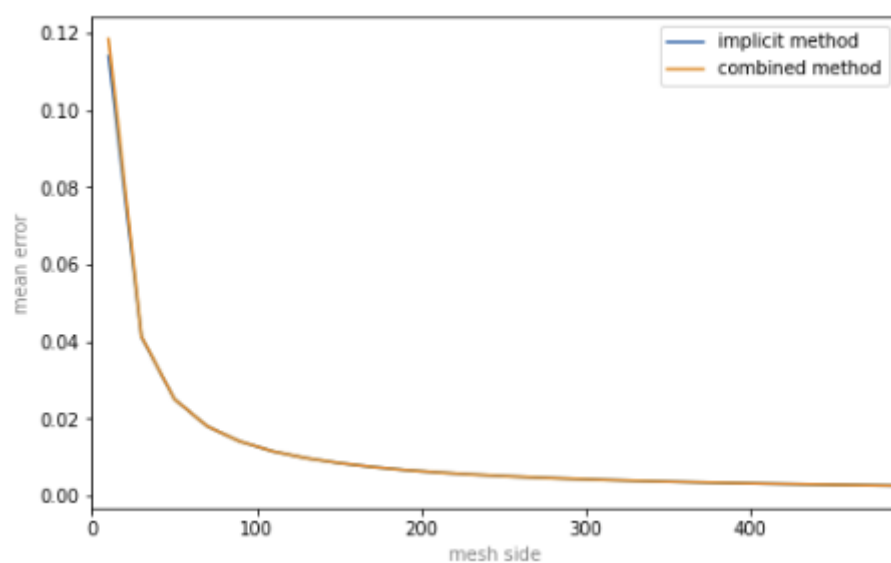
В данном случае применяется квадратная сетка со стороной mesh size и комбинированный метод с двухточечной аппроксимацией второго порядка.

Зафиксируем одну из размерностей сетки и проведем аналогичное исследование.



Можно сделать вывод, что, за исключением, крайне крупных сеток, высокая точность решения достигается установлением значения  $t \ll h$ , а также, большое значение  $t$  наносит куда больший вред точности решения, чем большое значение  $h$ .

Сравним графики зависимости погрешности от размера сетки для разных методов.



Видно, что графики имеют почти идентичную форму. Так как явный метод нельзя применить на квадратной сетке, его в сравнение добавлено не было.



## **Выводы**

В ходе выполнения этой лабораторной работы, я ознакомился с различными схемами решения дифференциальных уравнений параболического типа. Также я реализовал различные способы аппроксимации производной. Созданный мной фреймворк для решения дифференциальных уравнений параболического типа можно улучшить, добавив возможность решения уравнений с  $b$  и  $c \neq 0$ , а также упростив работу с  $f = 0$ , которая в нынешнем варианте реализации требует большого количества конструкций `if / else`. При анализе результатов кажется интересной идея построения двумерного графика зависимости погрешности от размерностей сетки, однако, для этого надо выполнить огромное количество замеров и потратить крайне много времени.